



A

Anejo

Gráficas de Comportamiento de los Ensayos Estructurales

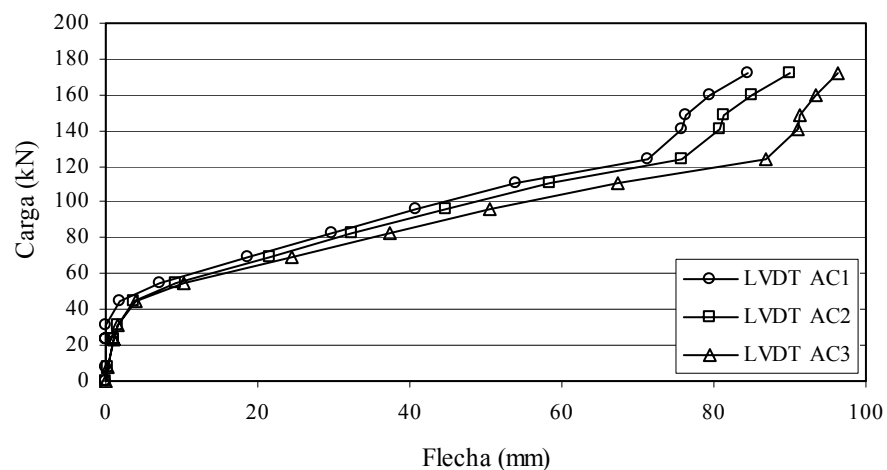
Anejo A. Gráficas de Comportamiento de los Ensayos Estructurales

En este apartado se presentan las gráficas de comportamiento correspondientes a los ensayos realizados con las vigas de dovelas presentadas en este trabajo de investigación.

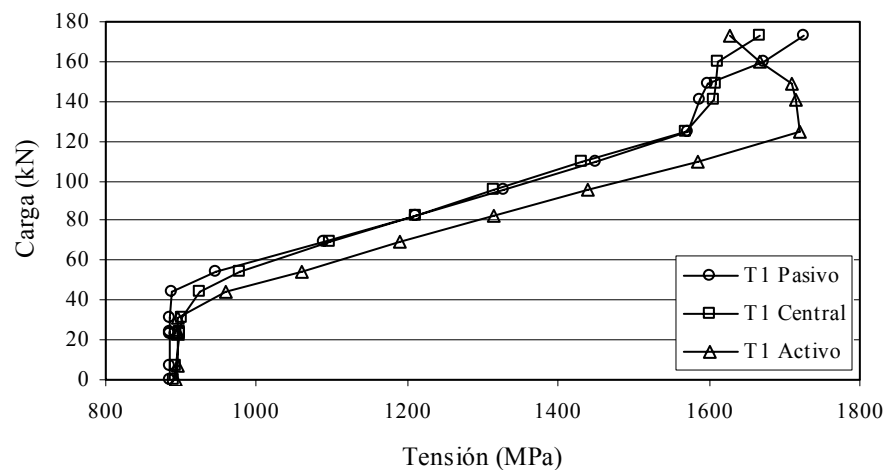
Viga VD-TFC1

A continuación se muestran las gráficas de comportamiento obtenidas a partir de los datos registrados por la instrumentación de la viga VD-TFC1 de acuerdo con la figura 3.10.

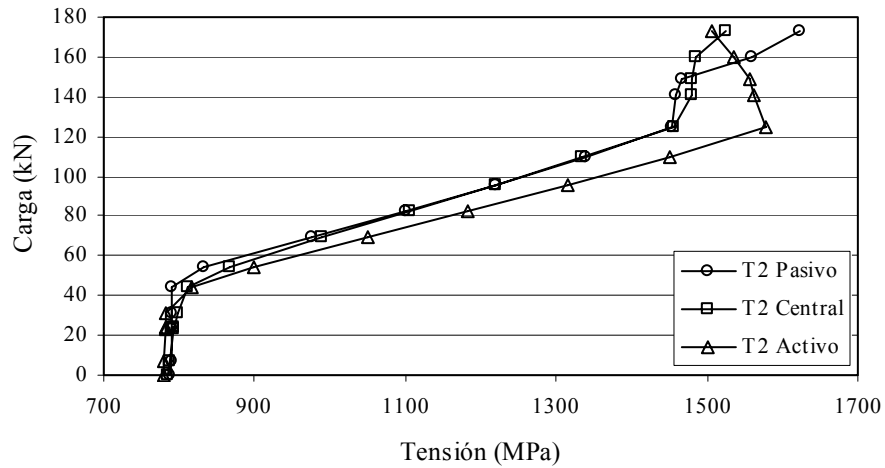
Flecha en la dovela central



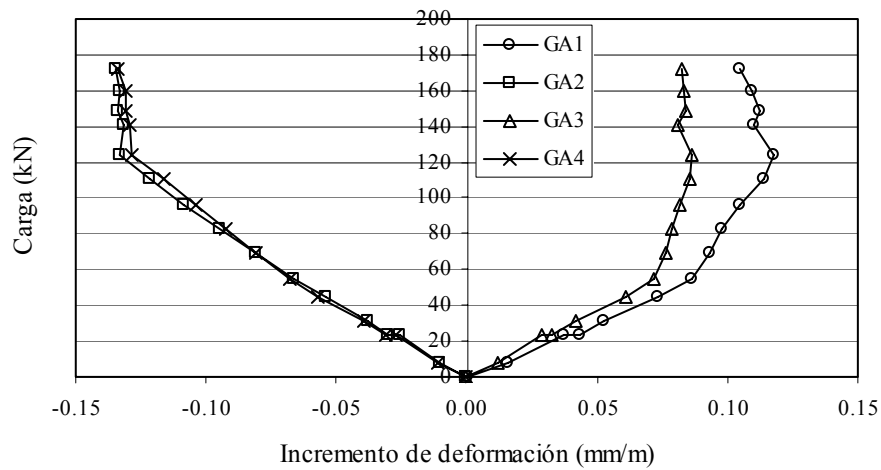
Tensiones de pretensado en el tendón 1



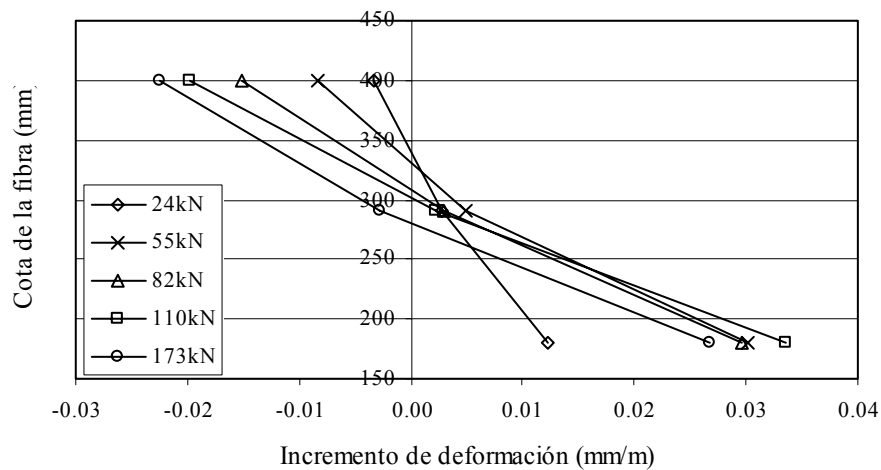
Tensiones de pretensado en el tendón 2



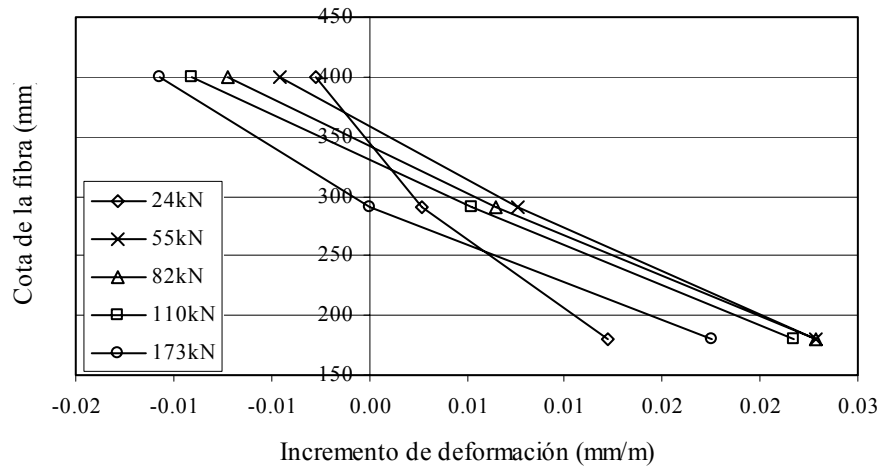
Incrementos de deformación en el acero pasivo



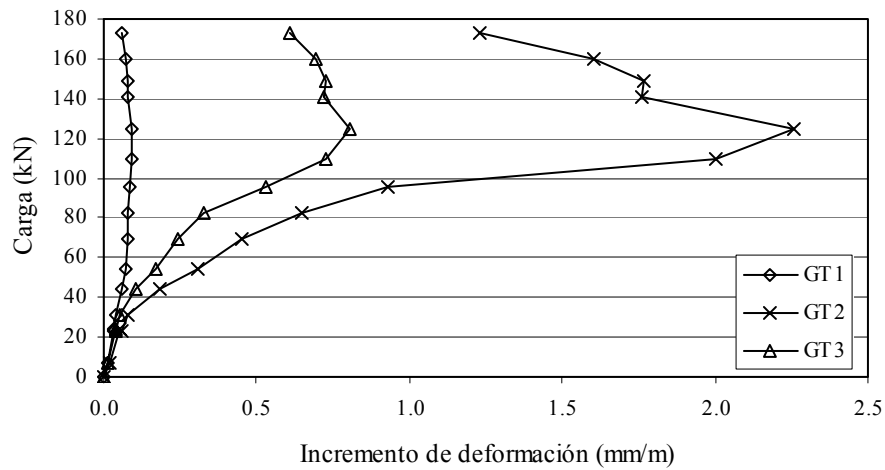
Incrementos de deformación en el hormigón en el centro del claro lado visto



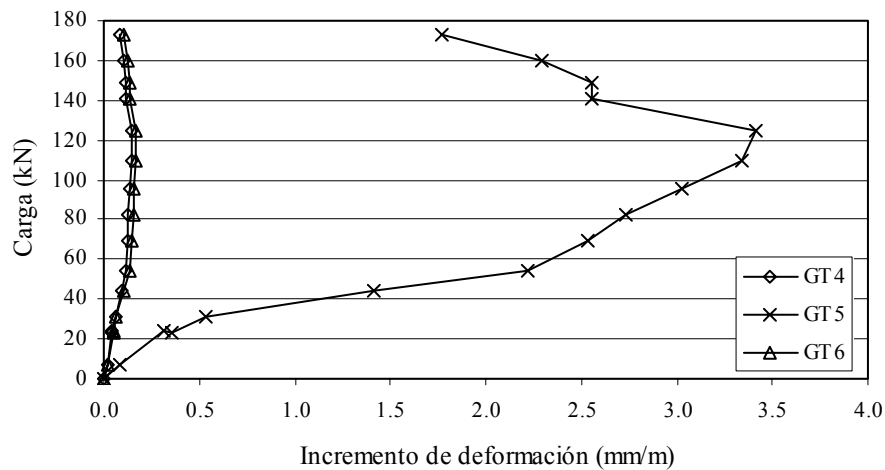
Incrementos de deformación en el hormigón en el centro del claro lado oculto



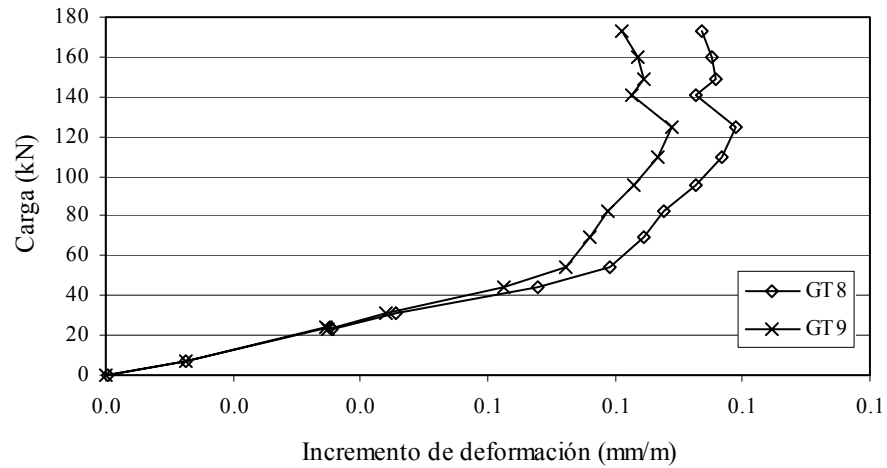
Incrementos de deformación en el TFC (GT1, GT2, GT3)



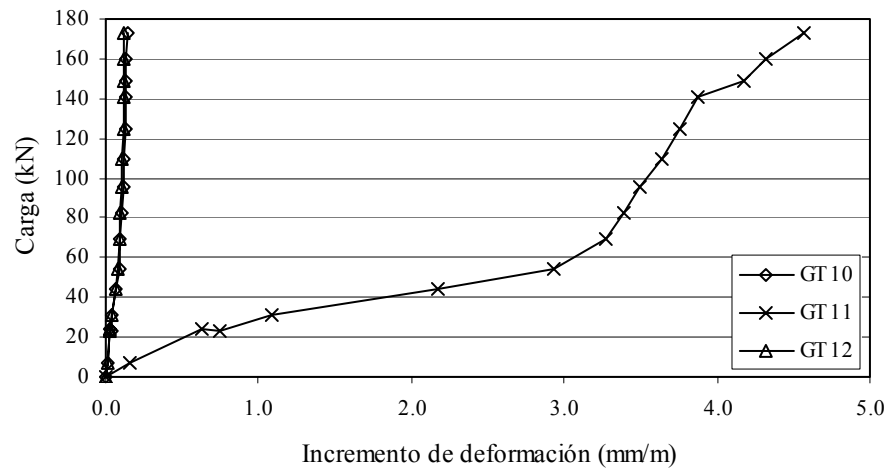
Incrementos de deformación en el TFC (GT4, GT5, GT6)



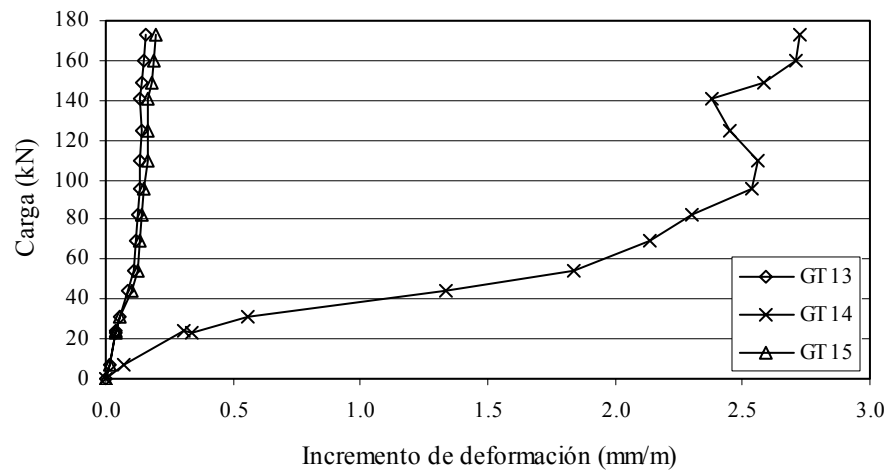
Incrementos de deformación en el TFC (GT8, GT9)



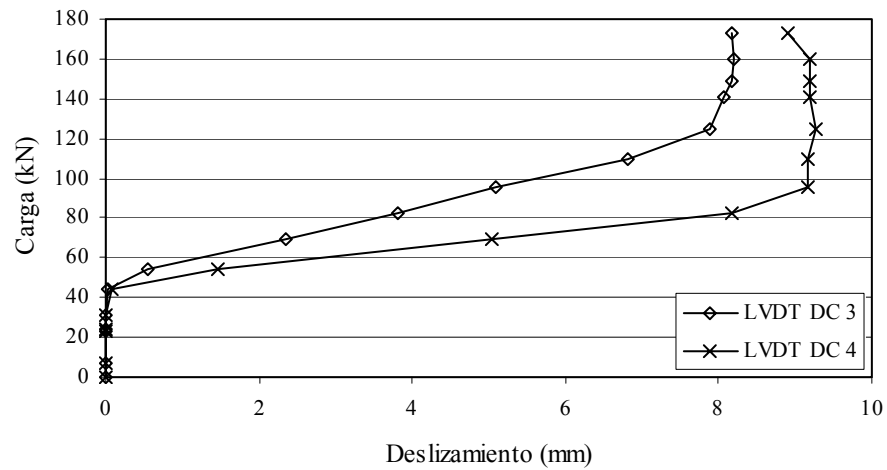
Incrementos de deformación en el TFC (GT10, GT11, GT12)



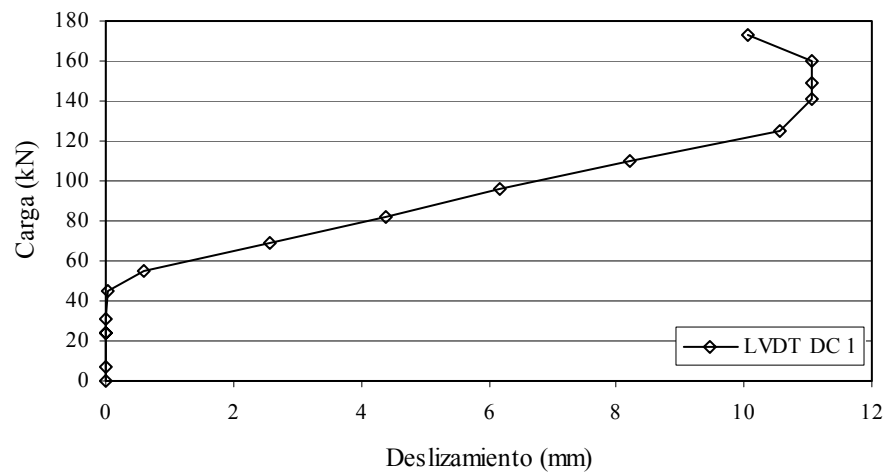
Incrementos de deformación en el TFC (GT13, GT14, GT15)



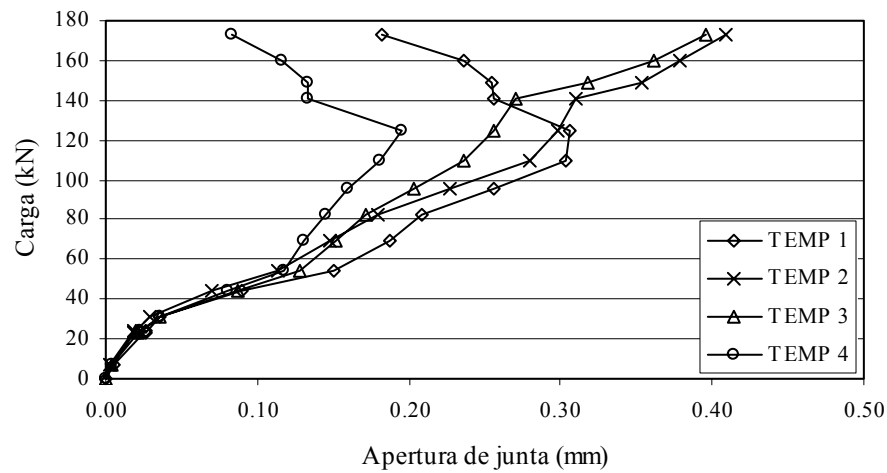
Deslizamiento del tendón 1 de pretensado en desviadores



Deslizamiento del tendón 2 de pretensado en desviadores



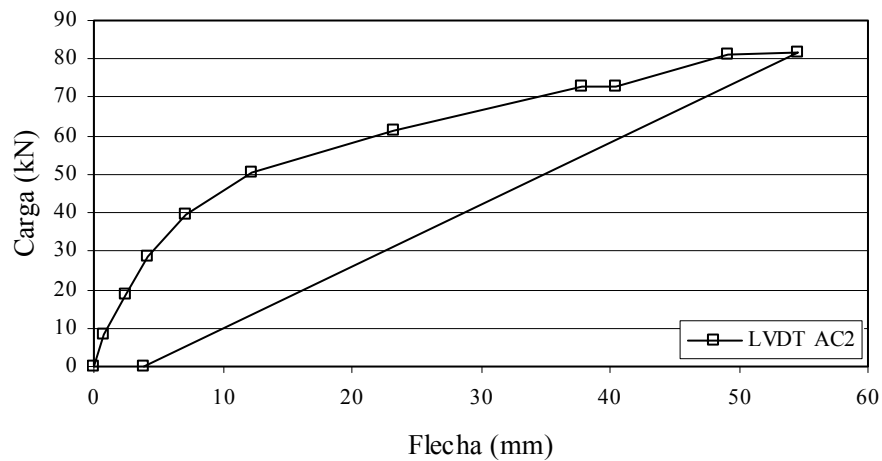
Apertura de juntas centrales



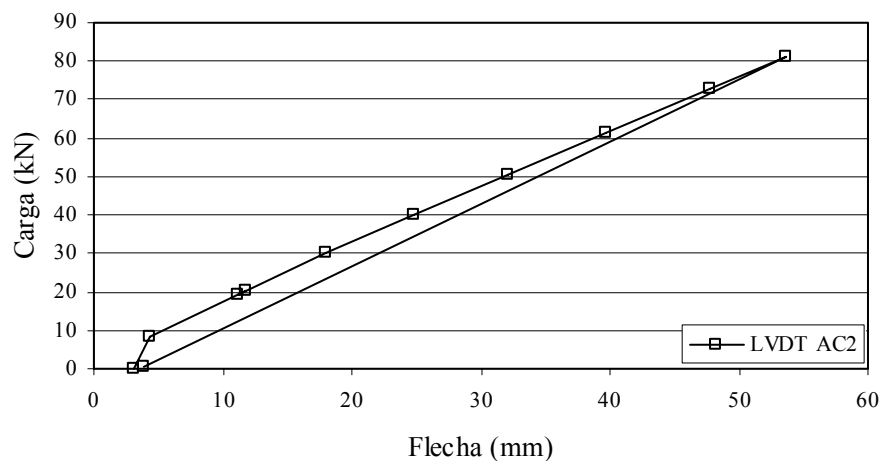
Viga VD-TFC2

A continuación se muestran las gráficas de comportamiento obtenidas a partir de los datos registrados por la instrumentación de la viga VD-TFC2 de acuerdo con la figura 3.12.

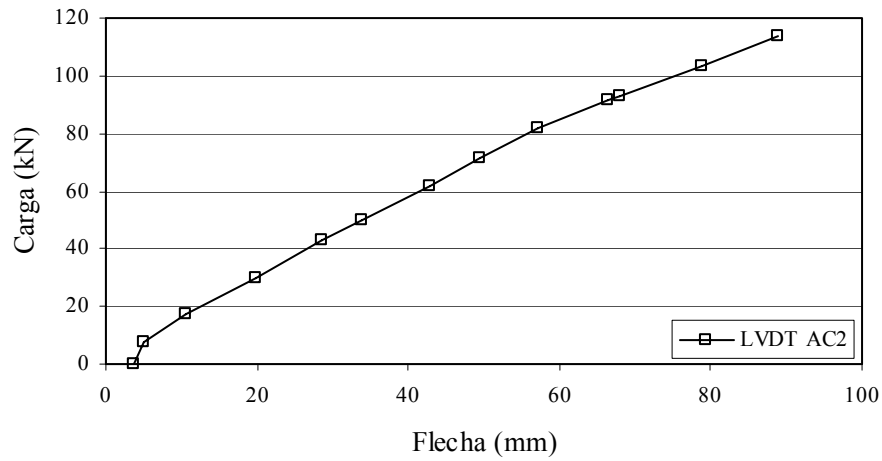
Flecha en la dovela central en la etapa 1 de carga



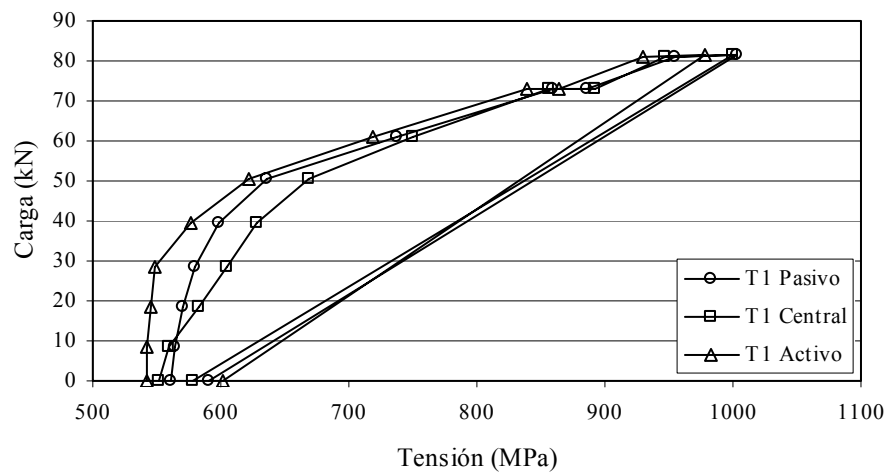
Flecha en la dovela central en la etapa 2 de carga



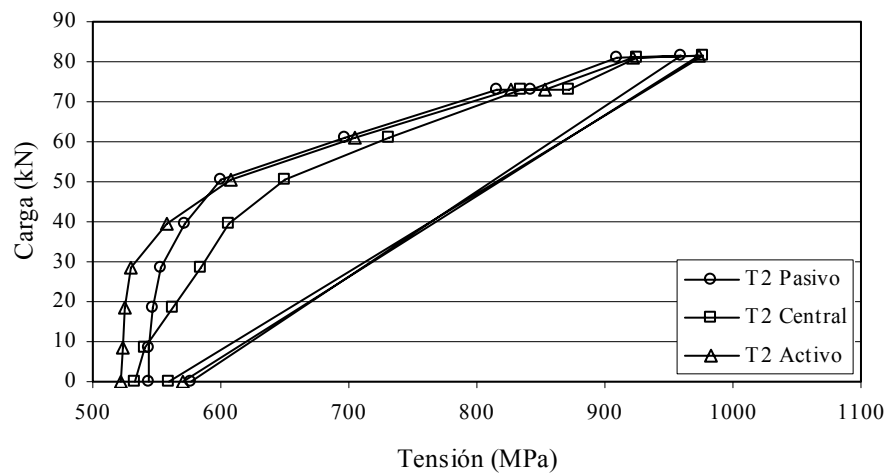
Flecha en la dovela central en la etapa 3 de carga



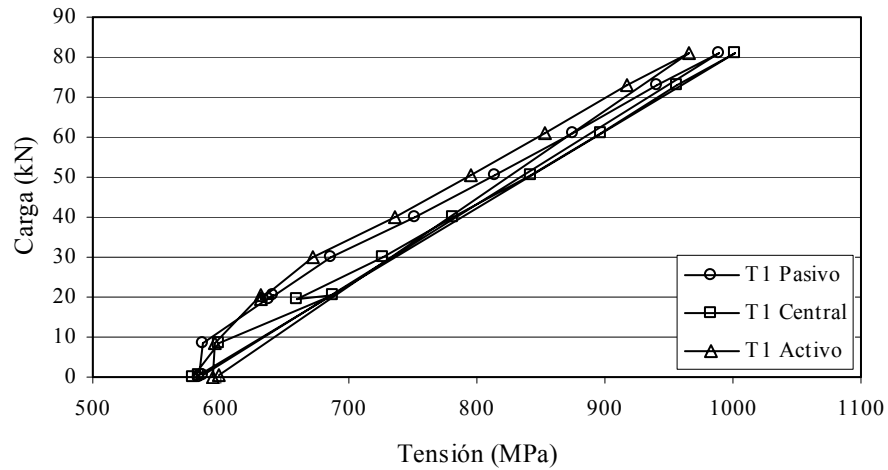
Tensiones de pretensado en el tendón 1 en la etapa 1 de carga



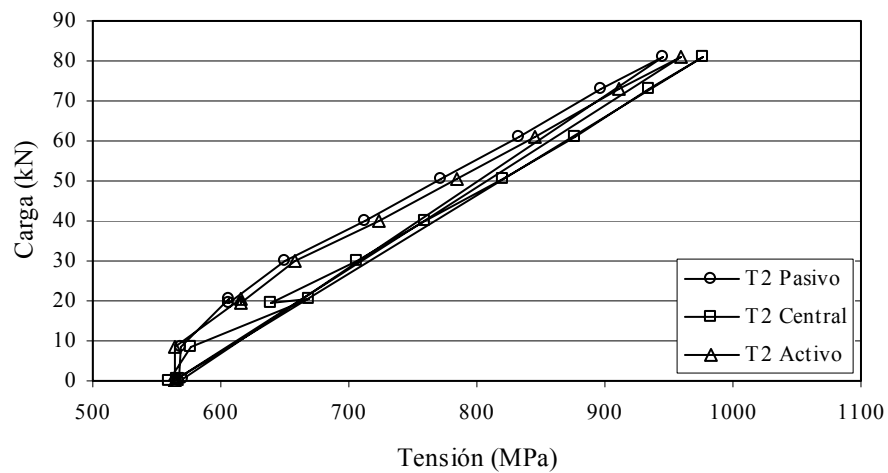
Tensiones de pretensado en el tendón 2 en la etapa 1 de carga



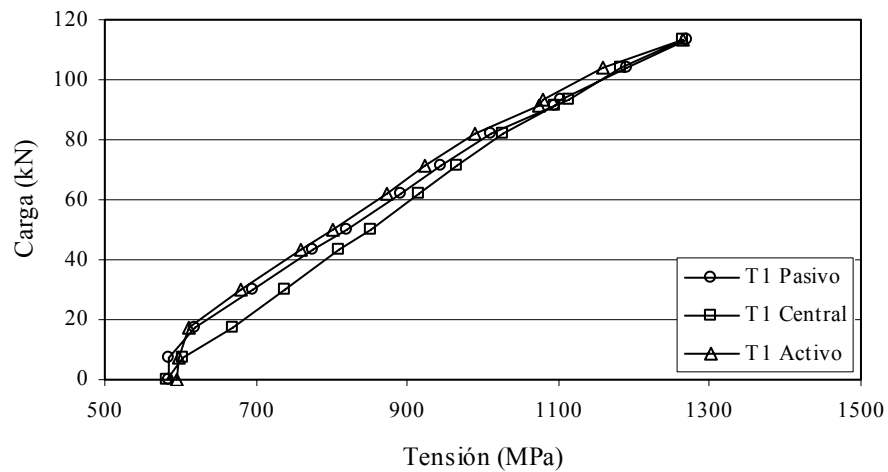
Tensiones de pretensado en el tendón 1 en la etapa 2 de carga



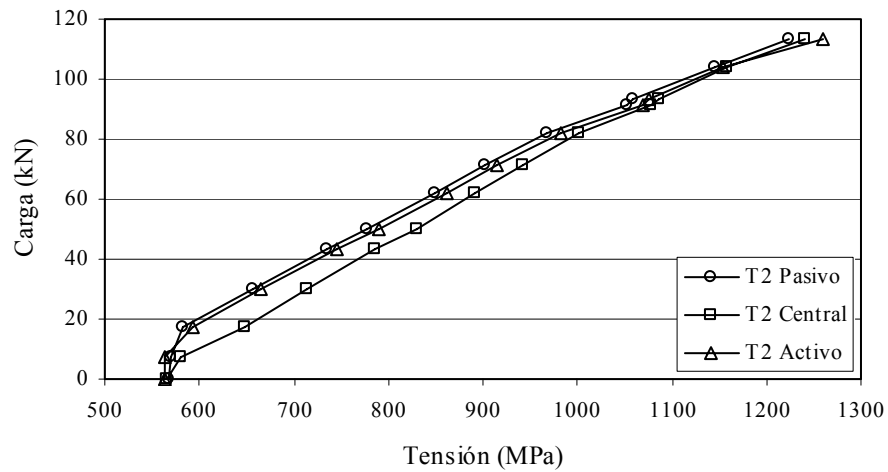
Tensiones de pretensado en el tendón 2 en la etapa 2 de carga



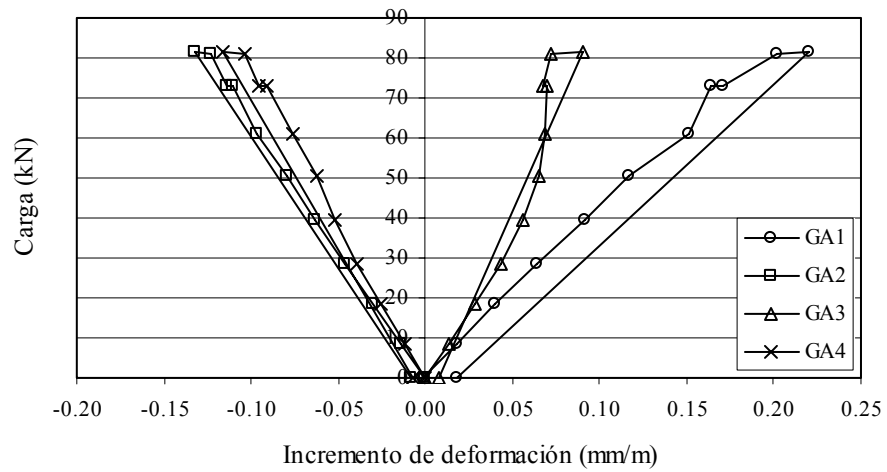
Tensiones de pretensado en el tendón 1 en la etapa 3 de carga



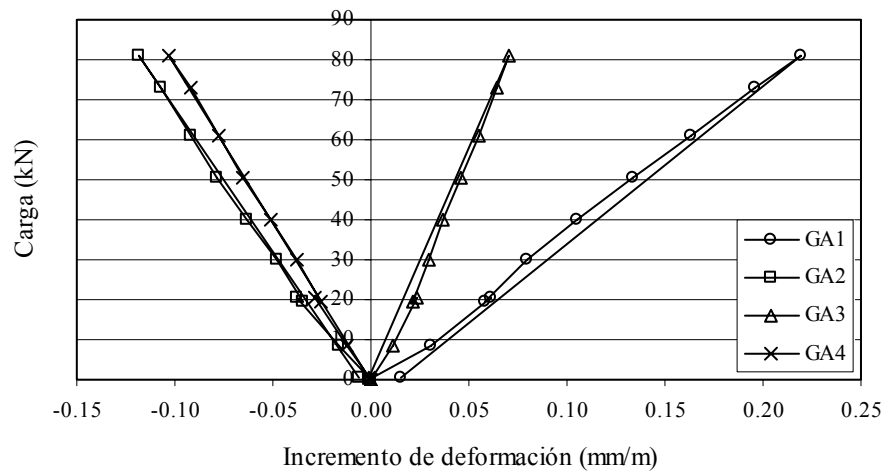
Tensiones de pretensado en el tendón 2 en la etapa 3 de carga



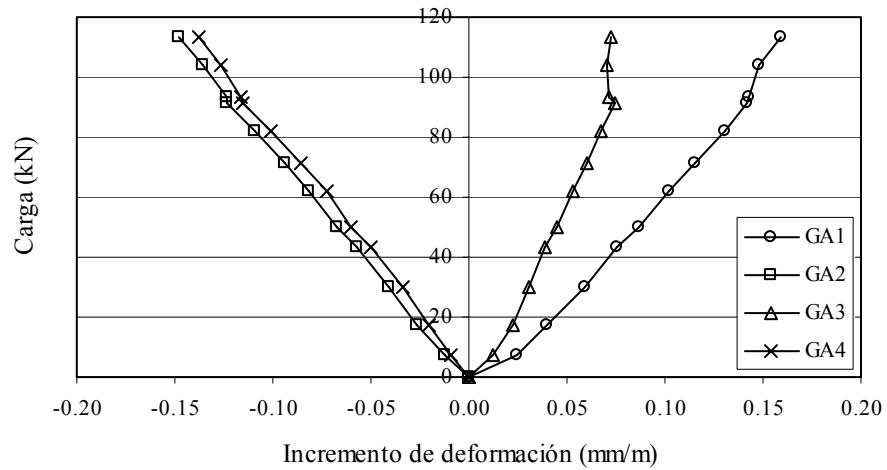
Incrementos de deformación en el acero pasivo en la etapa 1 de carga



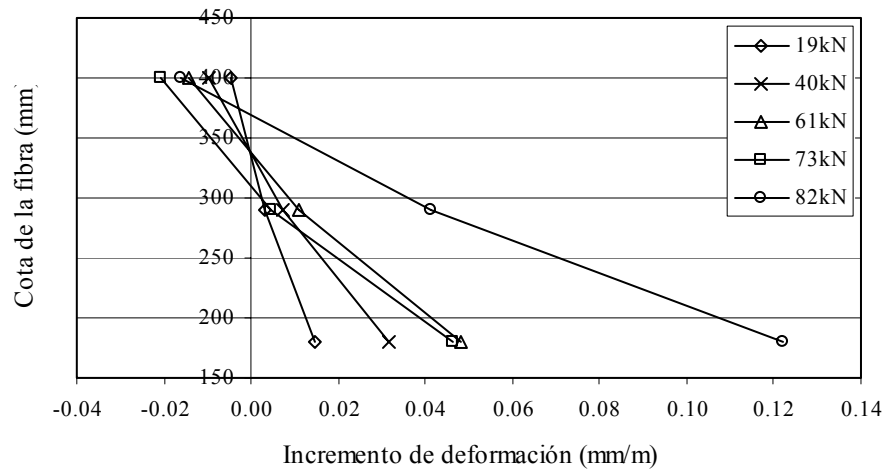
Incrementos de deformación en el acero pasivo en la etapa 2 de carga



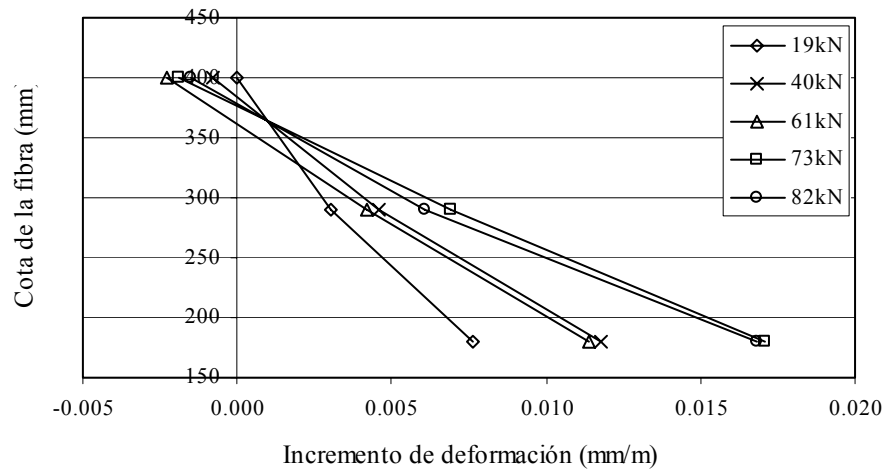
Incrementos de deformación en el acero pasivo en la etapa 3 de carga



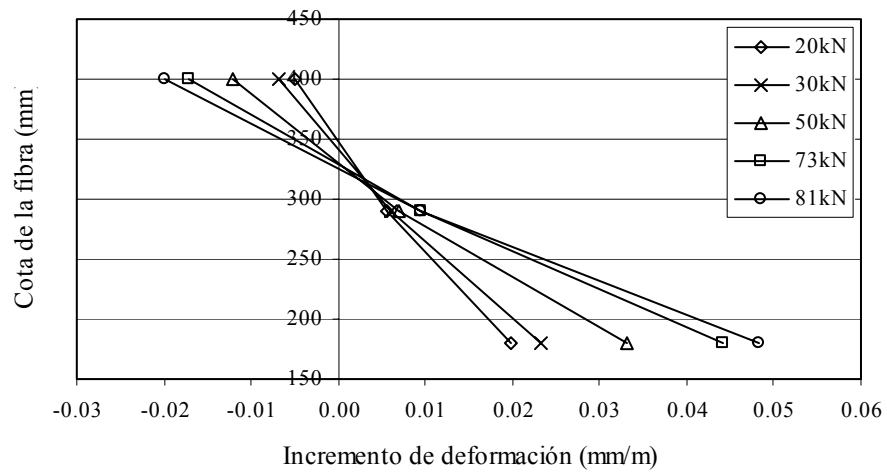
Incrementos de deformación en el hormigón lado visto etapa 1



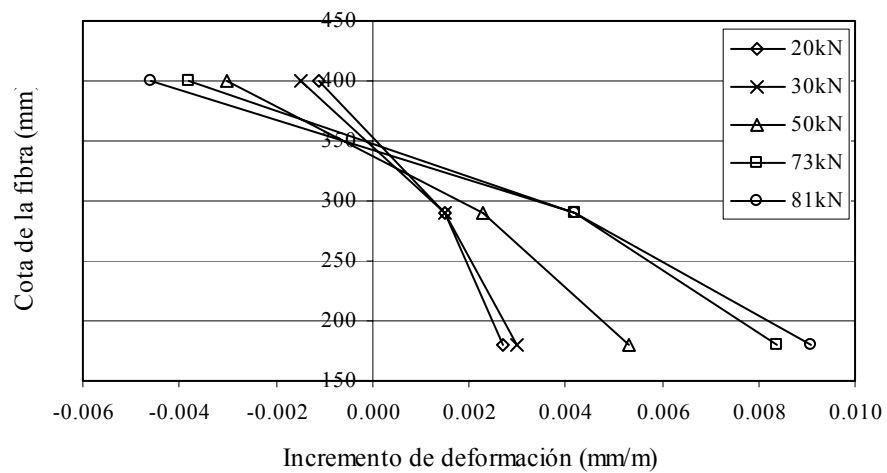
Incrementos de deformación en el hormigón lado oculto etapa 1



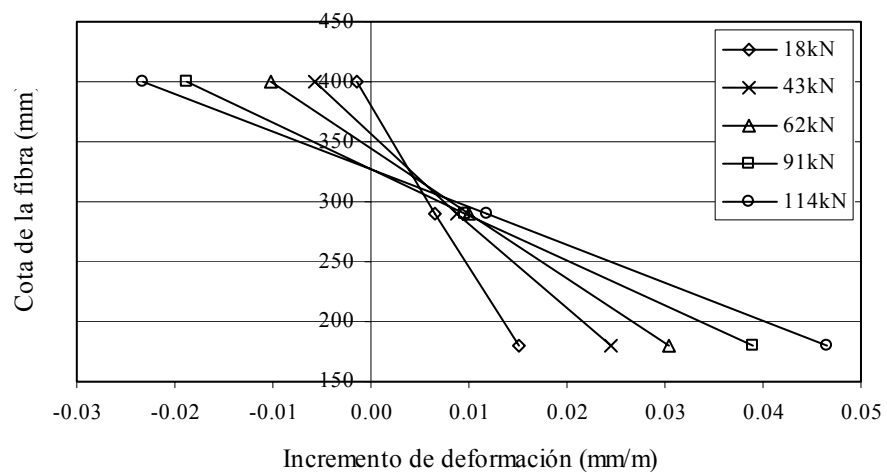
Incrementos de deformación en el hormigón lado visto etapa 2



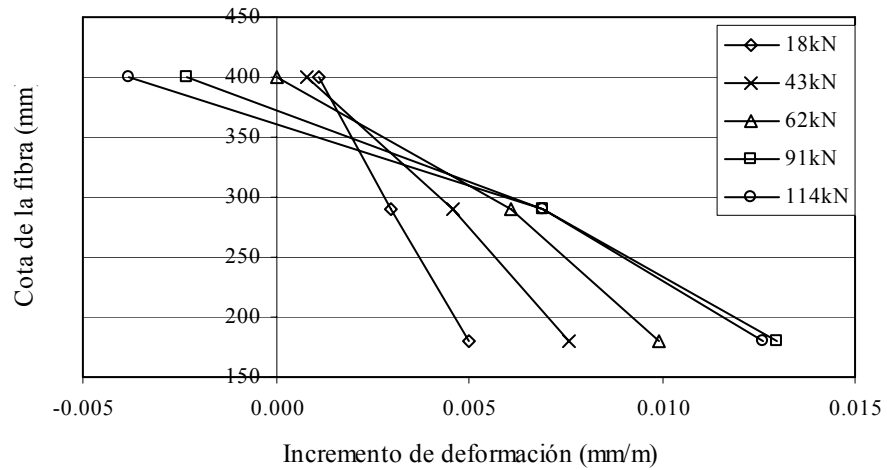
Incrementos de deformación en el hormigón lado oculto etapa 2



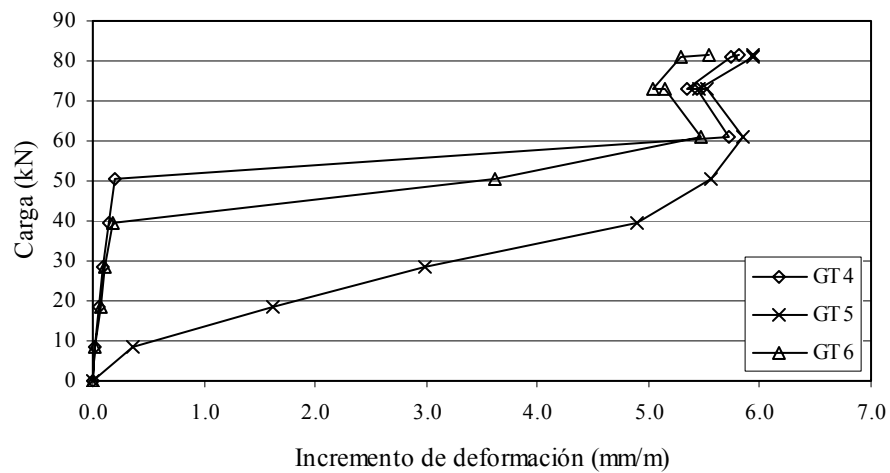
Incrementos de deformación en el hormigón lado visto etapa 3



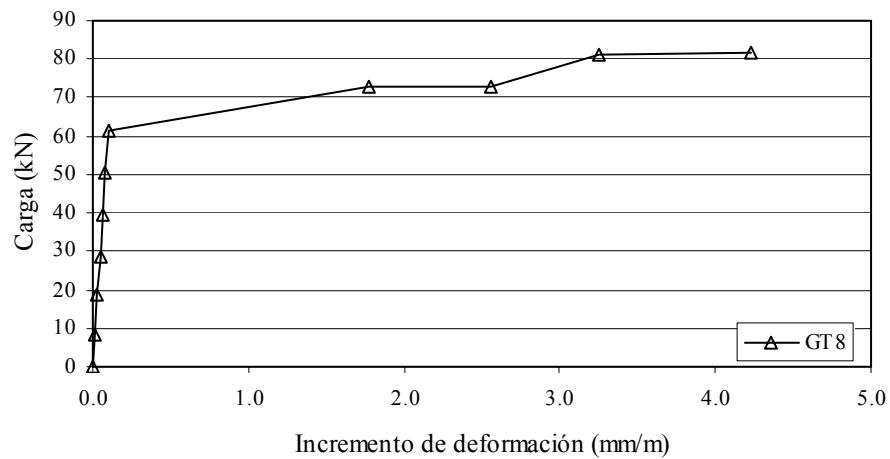
Incrementos de deformación en el hormigón lado oculto etapa 3



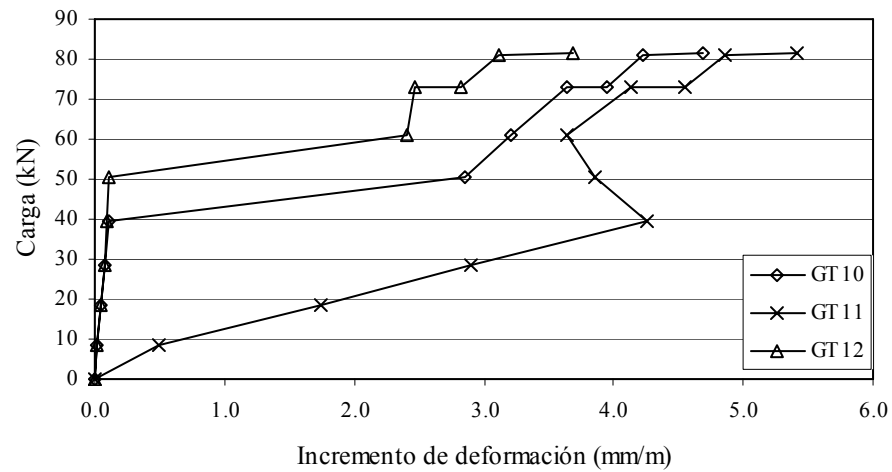
Incrementos de deformación en el tacón la etapa 1 (GT4, GT5, GT6)



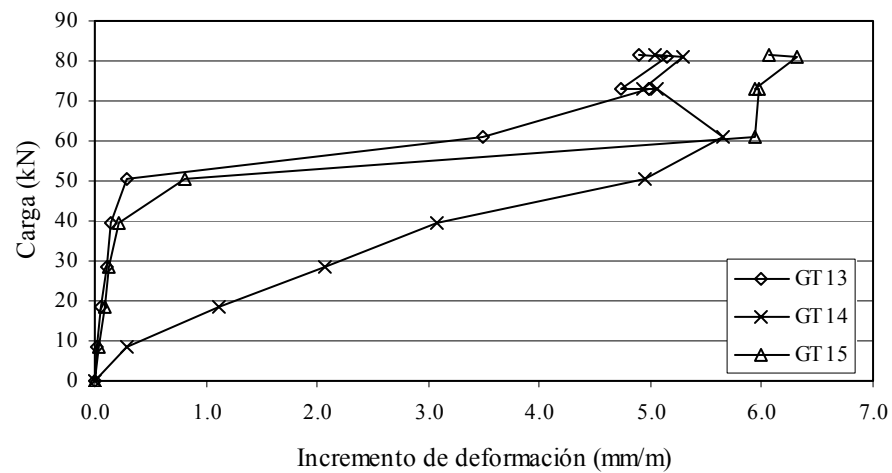
Incrementos de deformación en el tacón la etapa 1 (GT8)



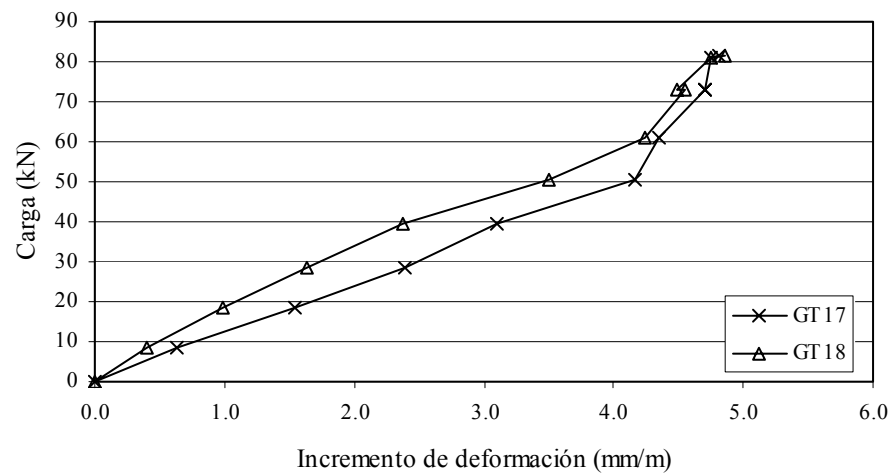
Incrementos de deformación en el tacón la etapa 1 (GT10, GT11, GT12)



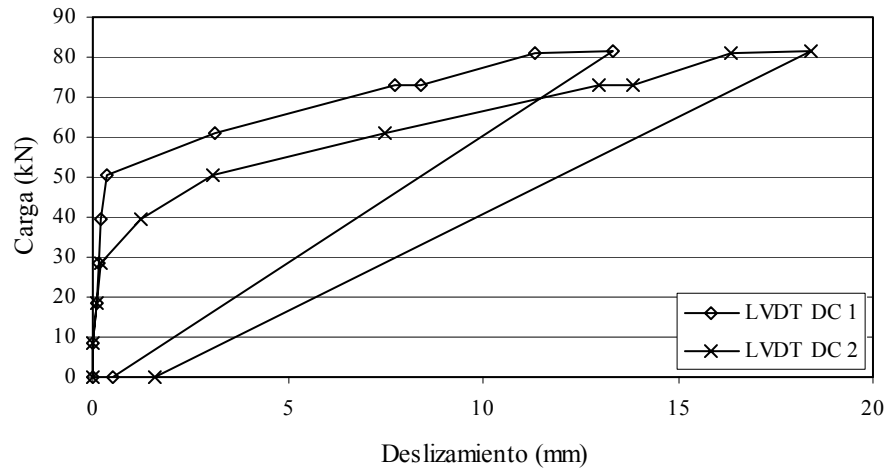
Incrementos de deformación en el tacón la etapa 1 (GT13, GT14, GT15)



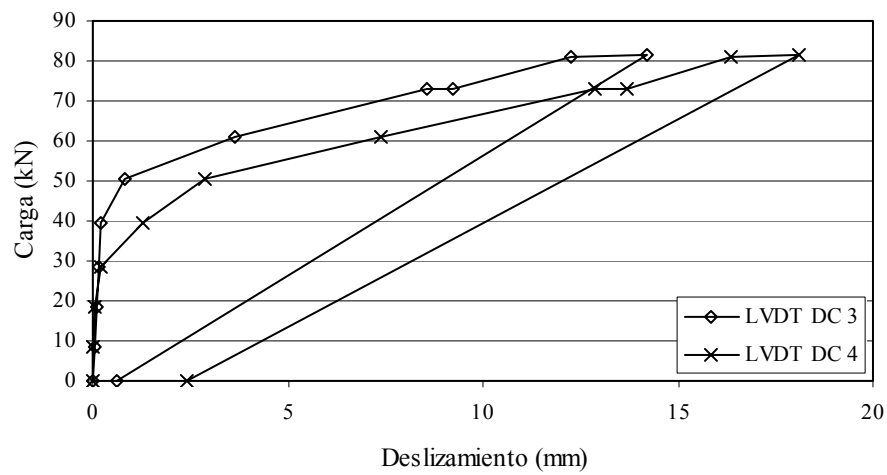
Incrementos de deformación en el tacón la etapa 1 (GT17, GT18)



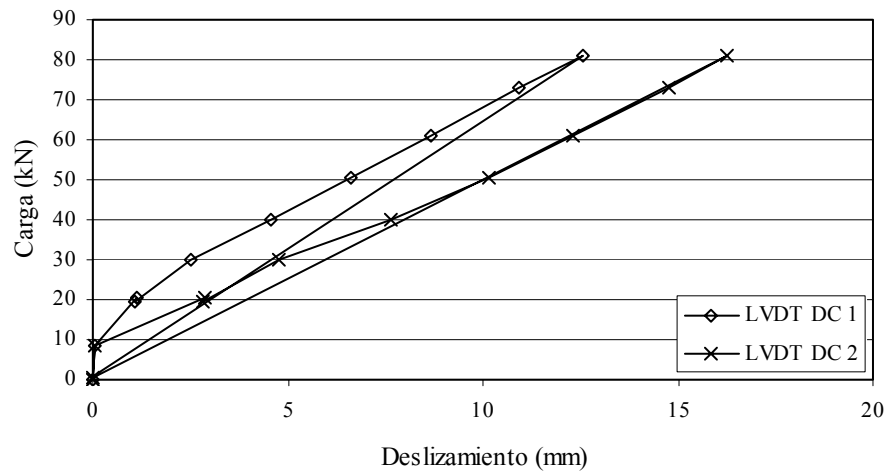
Deslizamiento del tendón 1 de pretensado en desviadores en etapa 1



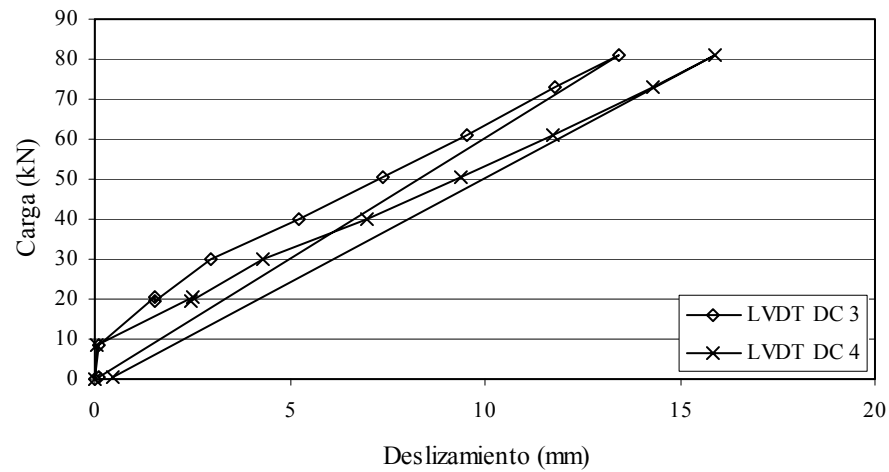
Deslizamiento del tendón 2 de pretensado en desviadores en etapa 1



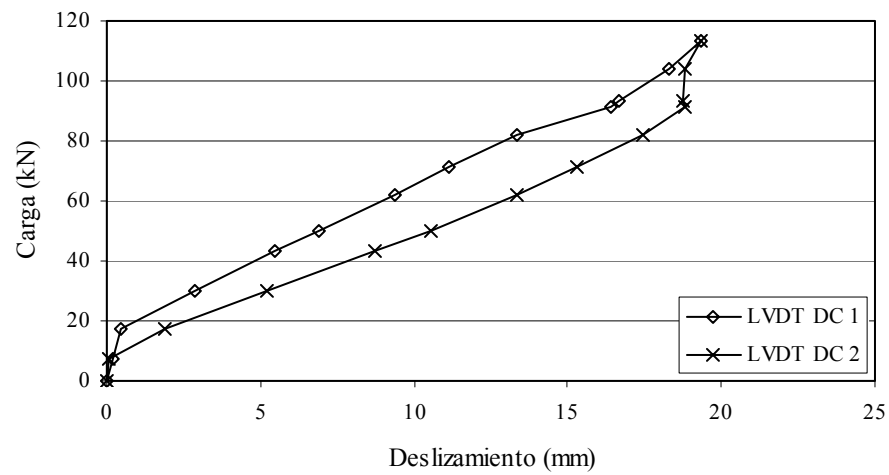
Deslizamiento del tendón 1 de pretensado en desviadores en etapa 2



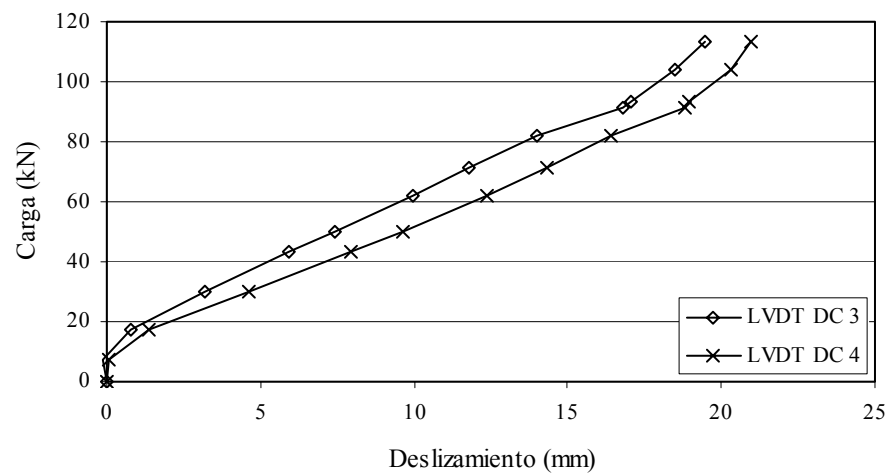
Deslizamiento del tendón 2 de pretensado en desviadores en etapa 2



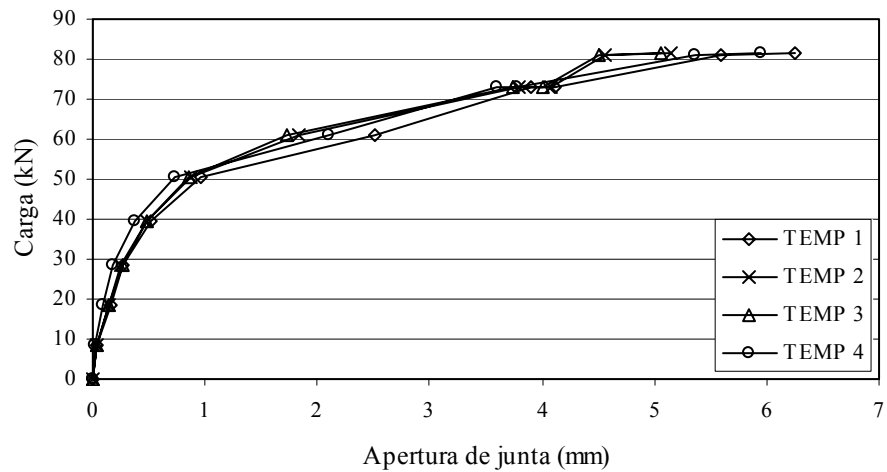
Deslizamiento del tendón 1 de pretensado en desviadores en etapa 3



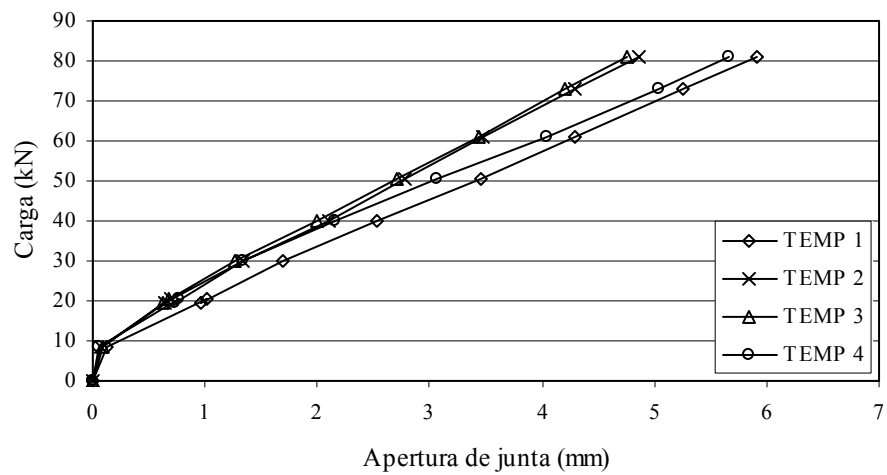
Deslizamiento del tendón 2 de pretensado en desviadores en etapa 3



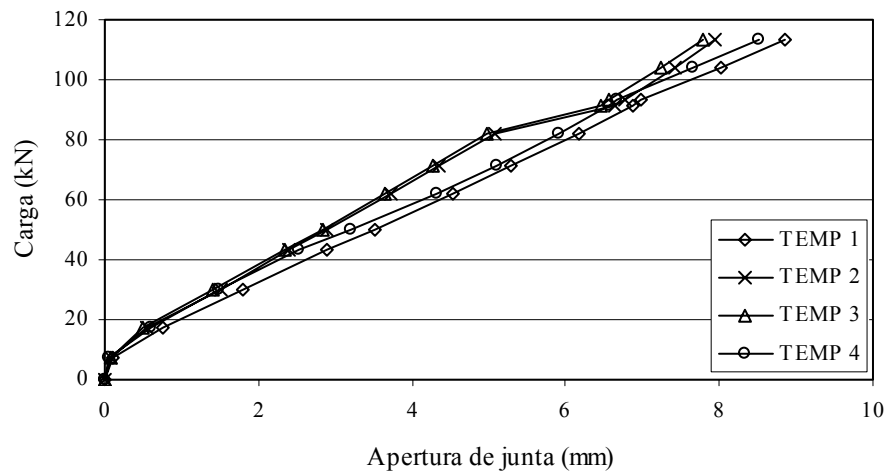
Apertura de juntas centrales en etapa 1



Apertura de juntas centrales en etapa 2



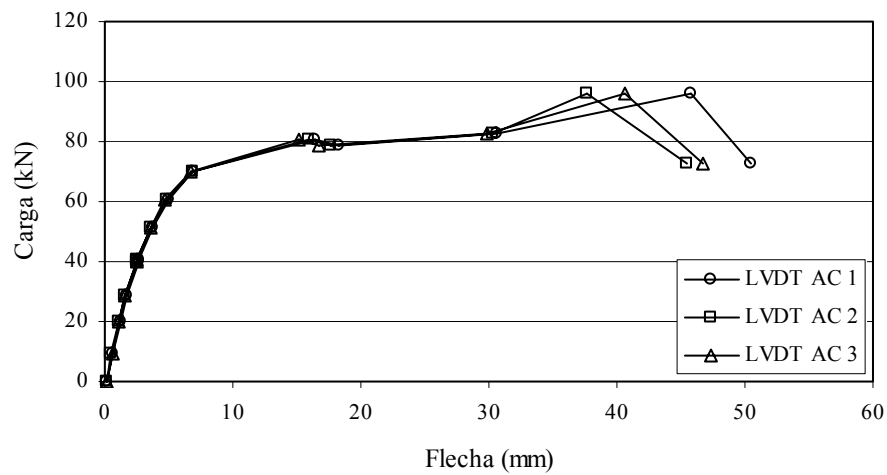
Apertura de juntas centrales en etapa 3



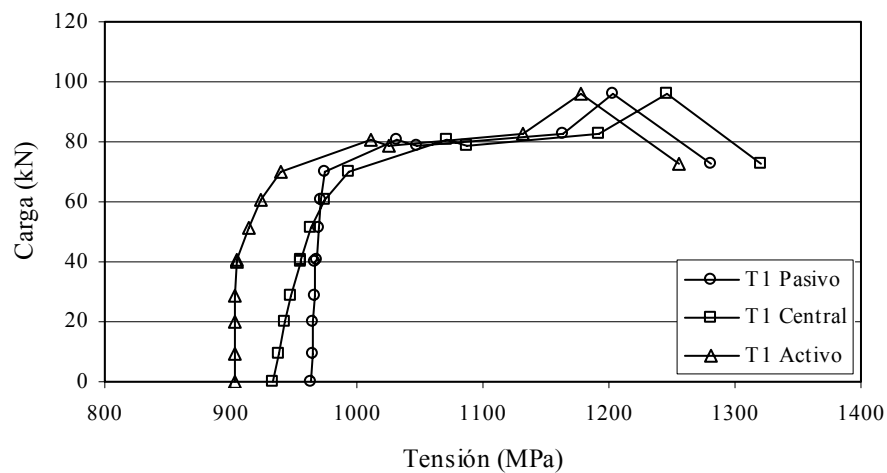
Viga VD-CFK1

A continuación se muestran las gráficas de comportamiento obtenidas a partir de los datos registrados por la instrumentación de la viga VD-CFK1 de acuerdo con la figura 3.16.

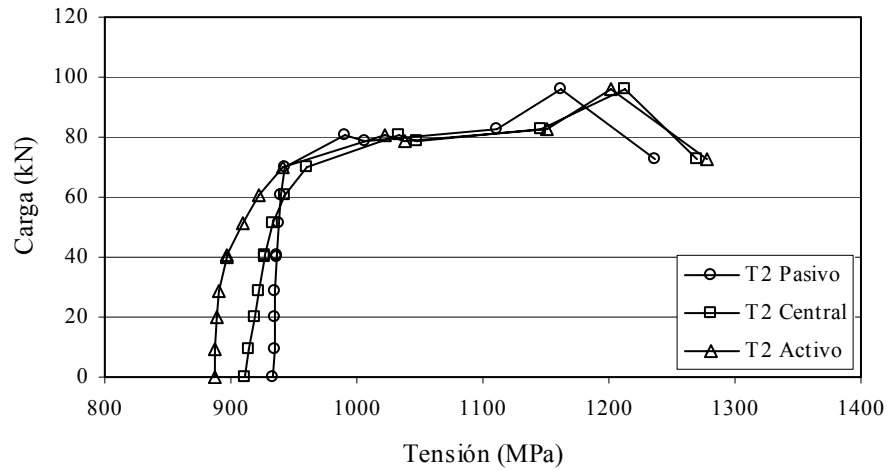
Flecha en la dovela central



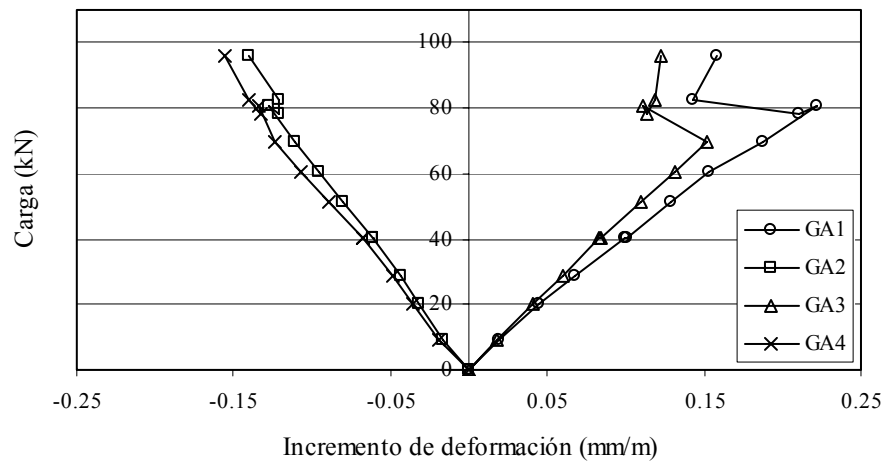
Tensiones de pretensado en el tendón 1



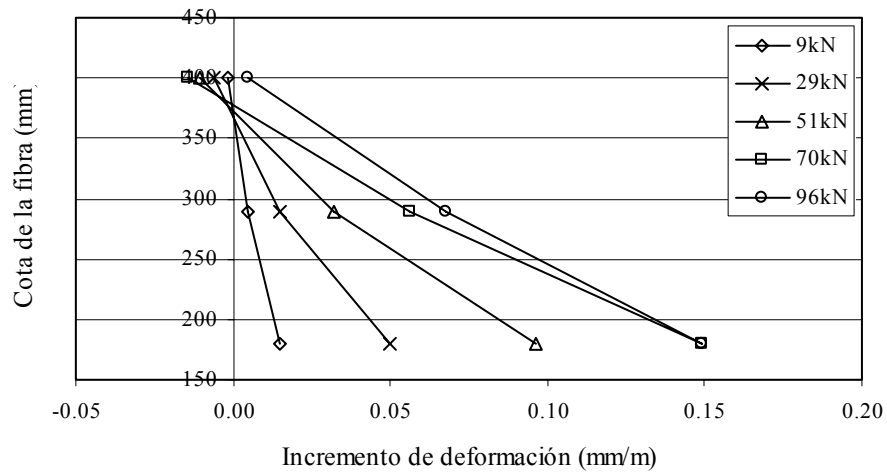
Tensiones de pretensado en el tendón 2



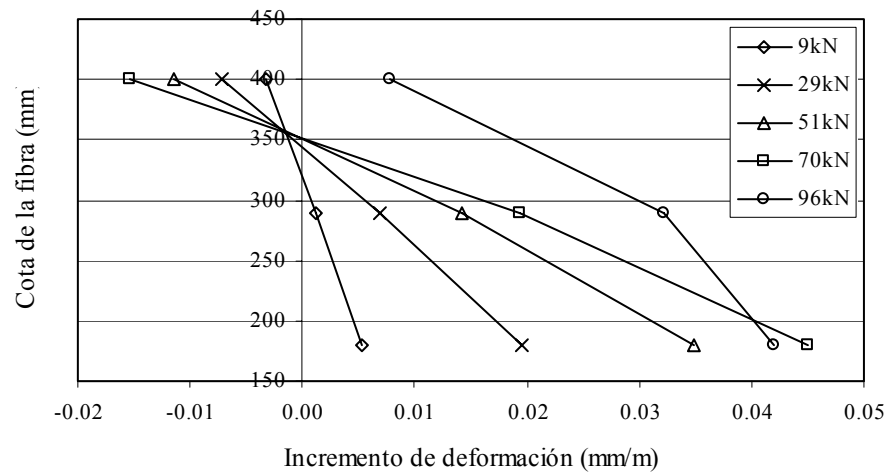
Incrementos de deformación en el acero pasivo



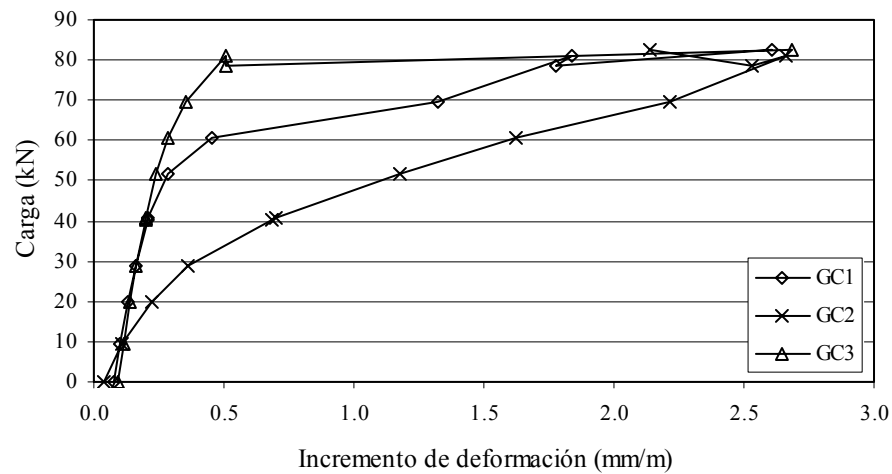
Incrementos de deformación en el hormigón en el centro del claro lado visto



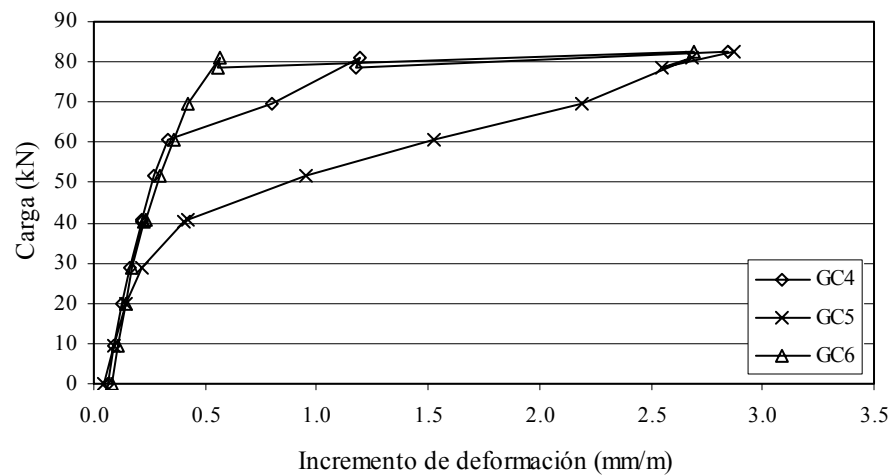
Incrementos de deformación en el hormigón en el centro del claro lado oculto



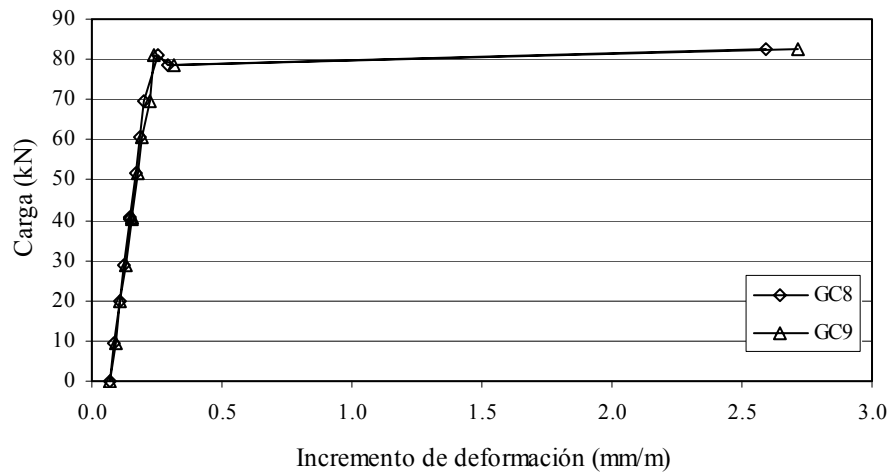
Incrementos de deformación en el CFK (GC1, GC2, GC3)



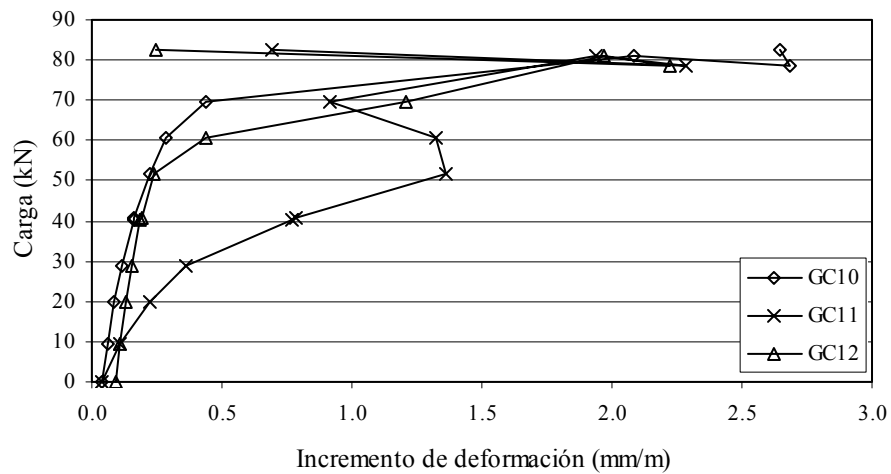
Incrementos de deformación en el CFK (GC4, GC5, GC6)



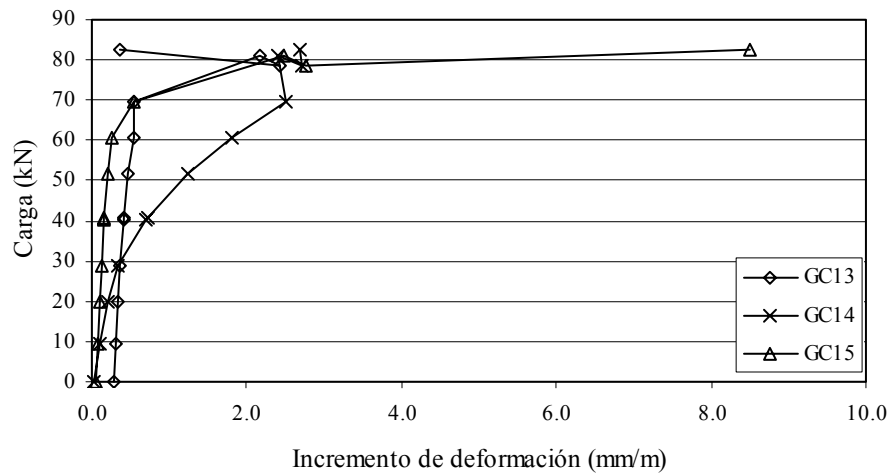
Incrementos de deformación en el CFK (GC8, GC9)



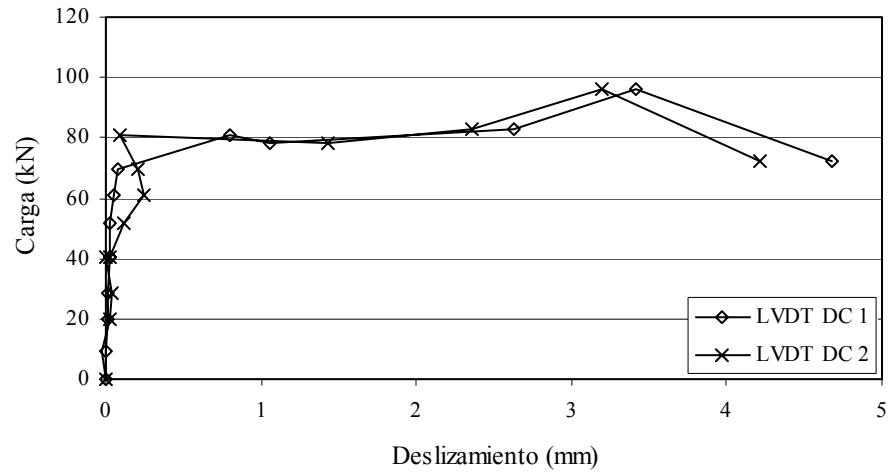
Incrementos de deformación en el CFK (GC10, GC11, GC12)



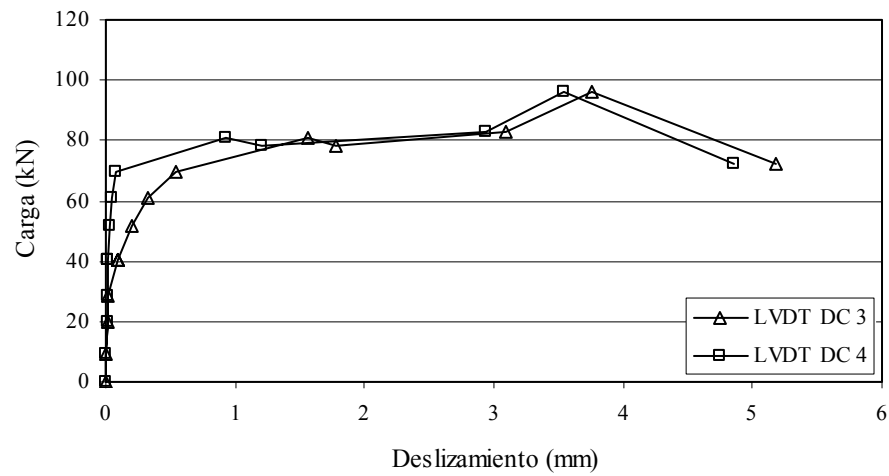
Incrementos de deformación en el CFK (GC13, GC14, GC15)



Deslizamiento del tendón 1 de pretensado en desviadores



Deslizamiento del tendón 2 de pretensado en desviadores



Apertura de juntas centrales

